



Instituto Tecnológico
GeoMinero de España

**ALBUM DE FOTOGRAFIAS DE LA
HOJA A ESCALA 1: 50.000
18-35 (883)
VIRGEN DE LA CABEZA**



MINISTERIO DE INDUSTRIA, COMERCIO Y TURISMO



Foto 1. Panorámica del Valle del río Jándula. La ermita de la Virgen de la Cabeza sobre la elevación máxima formada por afloramientos de microgranitos biotíticos y leucogranitos.



Foto 2. Panorámica del contacto intrusivo del batolito de Los Pedroches en las rocas metasedimentarias del "culm". Presa de la Lancha en el embalse del Jándula.



Foto 3. Detalle del contacto intrusivo del batolito de Los Pedroches en metasedimentos del "culm". Sur del Cerro de Galiarda.



Foto 4. Detalle de la granodiorita del afloramiento del Cerro del Humilladero. Enclave anguloso xenolítico, del encajante "culm".



Foto 5. Detalle de la granodiorita del afloramiento del Cerro del Humilladero con enclave microgranudo.



Foto 6. Panorámica de afloramiento típico de granito biotítico porfídico. Cra. Andújar-Puertollano al NE de la Ermita de la Virgen del Rosario.



Foto 7. Detalle de afloramiento de granito biotítico porfídico. Nótese el tramo centimétrico de los megacristales.



Foto 8. Detalle de afloramiento de granito biotítico porfídico al S del alto de Mosquitilla, en este caso con marcada orientación fluidal de los megacristales.



Foto 9. Idem. a la foto 8, en la que se aprecia además una bolsada de megacrístales feldespáticos, estructura frecuente en estas rocas.



Foto 10. Detalle de la textura de la matriz de grano grueso del granito biotítico porfídico (Aliviadero del embalse del Jándula en la Lancha).



Foto 11. Detalle de zona de cizalla en la misma localidad de la foto 10.



Foto 12. Diferenciados pegmatoides con cavidades miarolíticas y contactos difusos en granito biotítico porfídico, en la misma localidad de las fotos 10 y 11.



Foto 13. Inyección simplutónica de adamellita en granito biotítico porfídico al N. de la Mina de los Escoriales.



Foto 14. Detalle de la Foto 13.



Foto 15. Schlieren biotíticos en zona del hibridación entre microadamellita y granito biotítico porfídico. Aliviadero del embalse del Jándula en La Lancha.



Foto 16. Enclave métrico de microadamellita en granito biotítico. Nótese la naturaleza crenulada del contacto y la presencia de enclaves más máficos en el enclave microadamellítico, que sugiere la naturaleza híbrida de esta roca. Zona de hibridación en la misma localidad de la Foto 15.



Foto 17. Detalle de la zona de hibridación de la localidad anterior. Nótese la variabilidad de los contactos (netos, crenulados, difusos) y la presencia de enclaves en vías de homogeneización en ambos tipos litológicos.



Foto 18. Detalle de enclave microadamellítico en granito biotítico porfídico, con borde de enfriamiento neto. Zona de hibridación del aliviadero del embalse del Jándula.



Foto 19. Aglomeración de enclaves microadamellíticos con bordes difusos y megacristales feldespáticos xenolíticos, delimitando una bolsada de acumulación de megacristales feldespáticos y fases gaseosas. Misma localidad que las fotos anteriores.

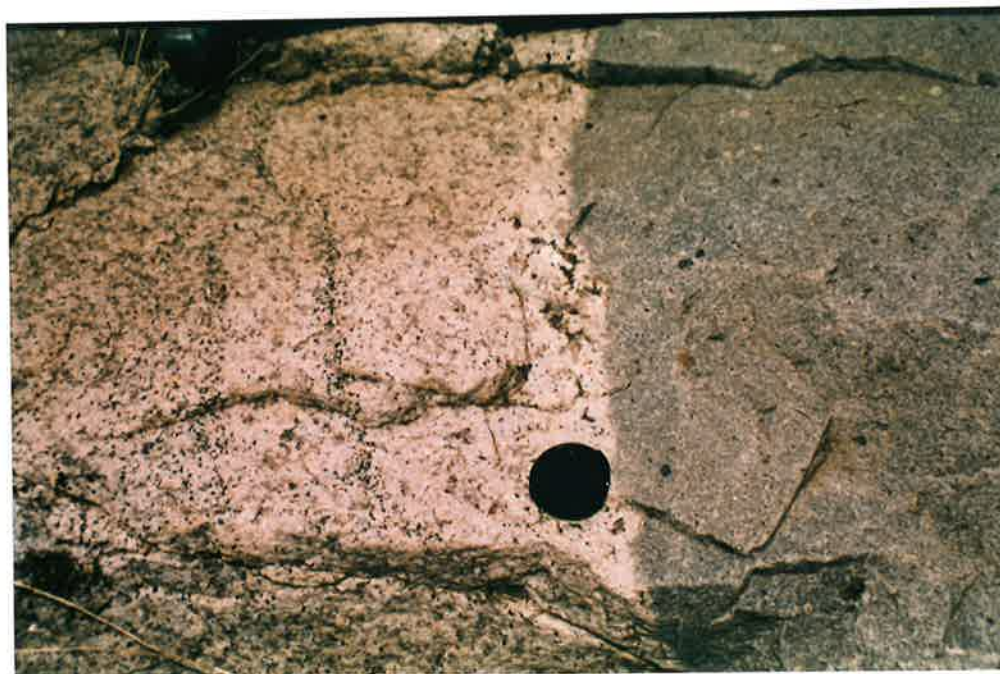


Foto 20. Detalle del contacto entre enclave microadamellítico y granito biotítico en la misma localidad de las fotos anteriores. Nótese la presencia de un estrecho margen de enfriamiento en el enclave, así como la existencia de una zona de enriquecimiento en feldespato y fases gaseosas en el granito, y de schlieren discontinuos paralelos al contacto.



Foto 21. Zona de hibridación del río Yeguas. Inyección simplutónica de una roca cuarzodiorítica-diorítica en granito biotítico porfídico. La roca máfica se deshace en enclaves decimétricos a métricos.



Foto 22. Detalle de uno de los enclaves de la foto 21. Nótese la naturaleza lobulada del contacto, la presencia de un enclave granítico con un pequeño enclave máfico incluido en el enclave principal y la existencia de megacristales feldespáticos xenolíticos en la roca máfica.



Foto 23. Idem. fotos 21 y 22. Nótese la naturaleza microcrenulada de los contactos y la presencia de un borde de enfriamiento (más oscuro) en la roca máfica.



Foto 24. Detalle de afloramiento de las microadamellitas. Arroyo de La Cabrera.



Foto 25. Detalle de la foto 24, en la que se observa un cristal feldespático, xenolítico parcialmente reabsorbido.



Foto 26. Detalle del contacto entre microadamellita y granito biotítico porfídico con evidencias de hibridación en el mismo.



Foto 27. Detalle de la foto 26 en la que se observa el carácter difuso del contacto entre microadamellita y granito biotítico porfídico.



Foto 28. Enclave máfico con borde de enfriamiento muy marcado en microadamellita. Arroyo de La Cabrera.



Foto 29. Panorámica de los leucogranitos en los afloramientos junto al Arroyo de la Cabrera.



Foto 30. Detalle de los leucogranitos. Presencia de cavidades miarolíticas.



Foto 31. Detalle de inyecciones leucograníticas en microadamellitas. Santuario de la Virgen de la Cabeza.



Foto 32. Detalle de afloramiento de pórfido granítico. Río Yeguas.



Foto 33. Detalle de corneanas sobre sedimentos pelítico-arenosos del "culm". Al oeste del embalse del Jándula.



Foto 34. Panorámica de un tramo masivo de gravacae en la sucesión "culm". Embalse del Jándula al este de La Loma del Lentisquillo.



Foto 35. Alternancia de grauvacas y pizarras del "culm" en el Arroyo del Cornudo.



Foto 36. Detalle de grauvacas microconglomeráticas de la sucesión "culm", al oeste de las Casas del Contadero.



Foto 37. Panorámica de los afloramientos cuarcíticos del Cerro del Rosalejo.



Foto 38. Panorámica de la corrida cuarcítica de los vértices Cabeza Parda-Rosalejo.



Foto 39. Panorámica de la corrida cuarcítica Cabeza Parda-Rosalejo en el embalse del Jándula. Nótese la presencia de varios tramos cuarcíticos intercalados con pizarras y grauvacas del "culm".



Foto 40. Banco cuarcítico en el vértice Cabeza Parda.



Foto 41. Zona de intensa deformación milonítica afectando a las cuarcitas de la corrida Cabeza-Parda-Rosalejo (Oeste del vértice Cabeza Par-da).



Foto 42. Brechas cataclásticas de fragmentos cuarcíticos en la misma localidad de la foto 41.



Foto 43. Iden. a la foto 42.



Foto 44. Detalle de pliegues menores afectando a la sucesión "culm", transectados en sentido sinistroso por la esquistosidad cogenética (Sur del Río Sardinilla).



Foto 45. Idem. a la foto 44. Acceso al cortijo Valdelagrana.



Foto 46. Detalle de transección de pliegue por la esquistosidad (Zona de Piruetanar).



Foto 47. Pliegues tardíos, afectando a S_1 , en la zona límite de la aureola de contacto al norte del batolito (Cra. de Las Viñas a El Centenillo al S. de Las Casas de las Navas de Pedro Bagar).



Foto 48. Zona de falla normal, hundiendo el bloque de la derecha (norte), última reactivación en la zona de deformación de la misma localidad de la foto 47.



Foto 49. Contacto discordante de los depósitos de gravas (terciarias) sobre la sucesión culm (Arroyo Bretónica).



Foto 50. Detalle de los "debris flows" que constituyen la base de la sucesión terciaria en la localidad de la foto 49.+



Foto 51. Detalle de los "debris flows" sin matriz (o muy escasa) que constituyen el tramo más alto de la sucesión terciaria en la mancha localizada al SE de la Mina de Los Escoriales.



Foto 52. Fotomicrografía de la muestra LB-9391 correspondiente a la granodiorita del Humilladero. Cuarzo, Plagioclasa, Biotita y escaso Feldespato potásico formando una textura granuda hipidiomorfa. Nucleos cruzados.

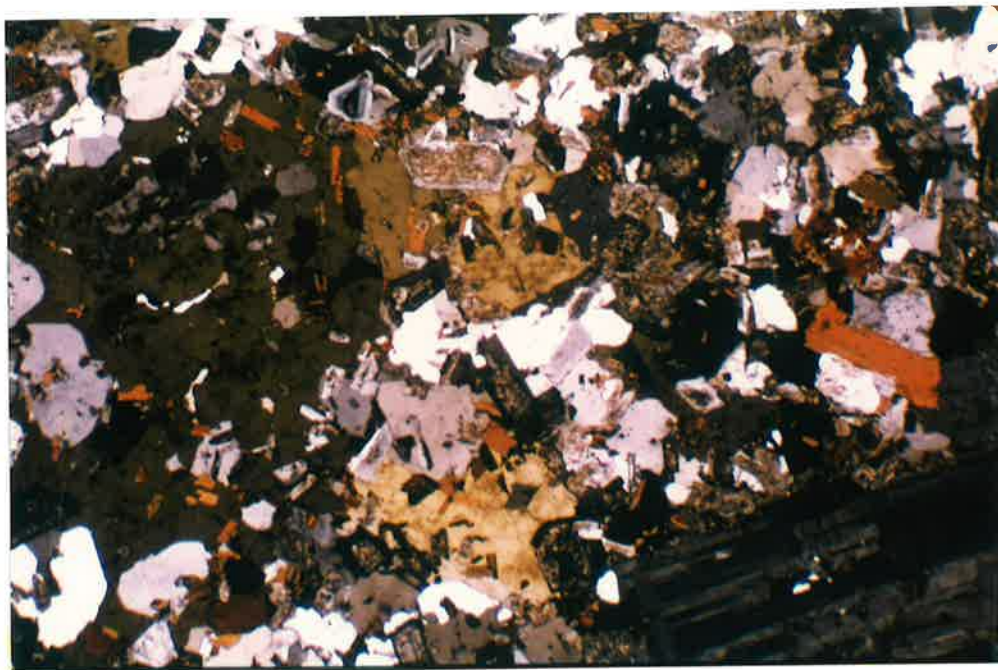


Foto 53. Fotomicrografía de la muestra LB-9037' correspondiente a una Microadamellita. Obsérvese los fenocristales de plagioclasa y la textura poiquilítica de los Feldespatos potásicos. Nicoles cruzados.

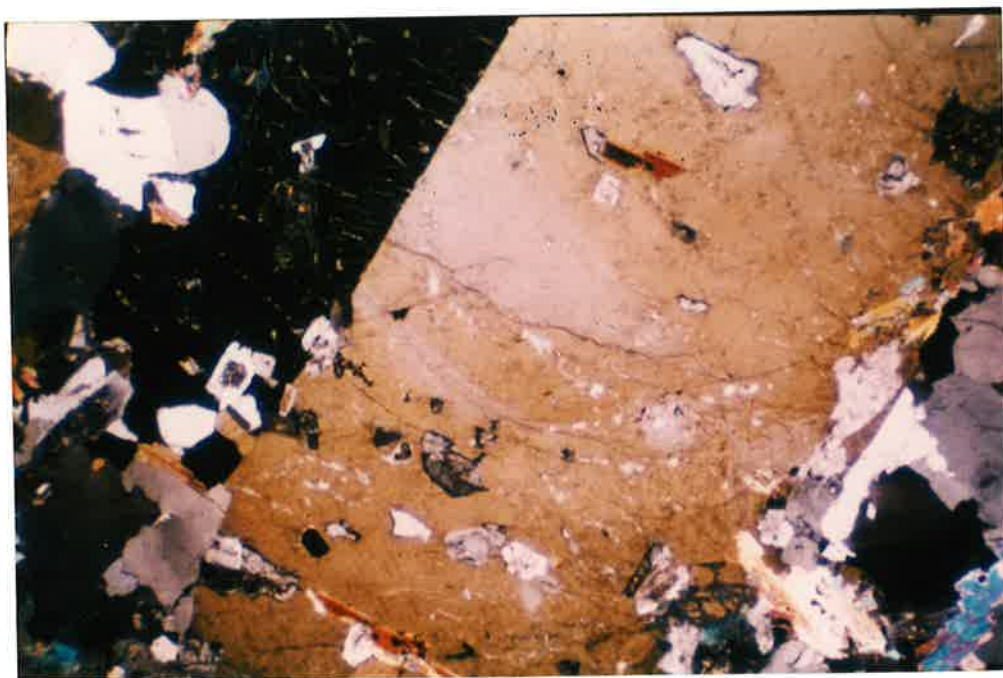


Foto 54. Fotomicrografía de la muestra LB-9305 de un Granito porfídico biotítico. Megacristales de Ortosa maclado y con inclusiones de biotita, cuarzo y plagioclasa. Nicoles cruzados.

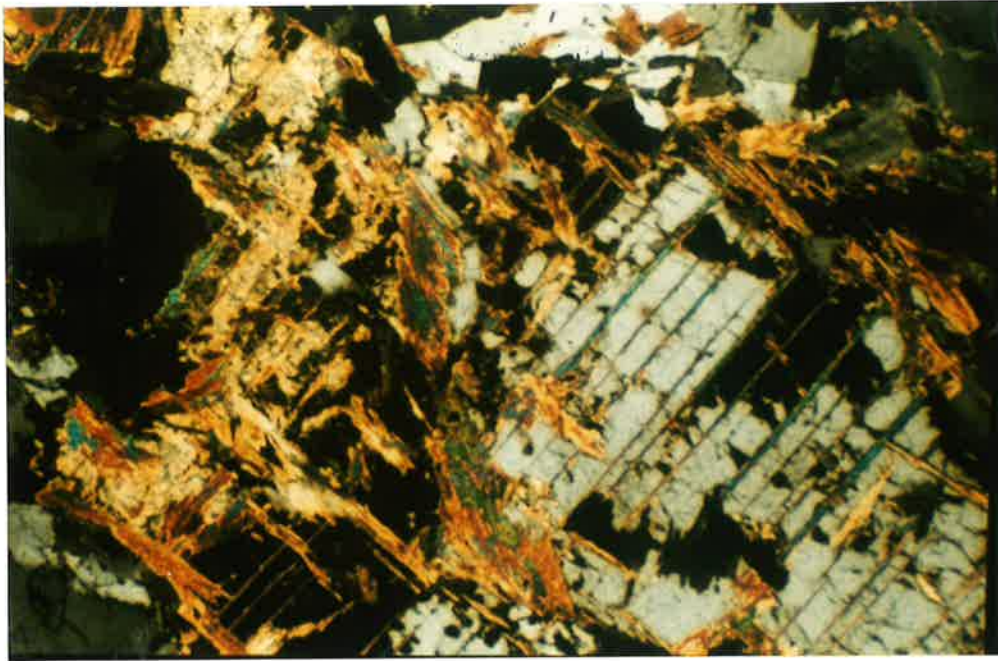


Foto 55. Fotomicrografía de la muestra LB9313 de un granito biotítico porfídico. Cordierita parcialmente alterada. Nicoles cruzados.

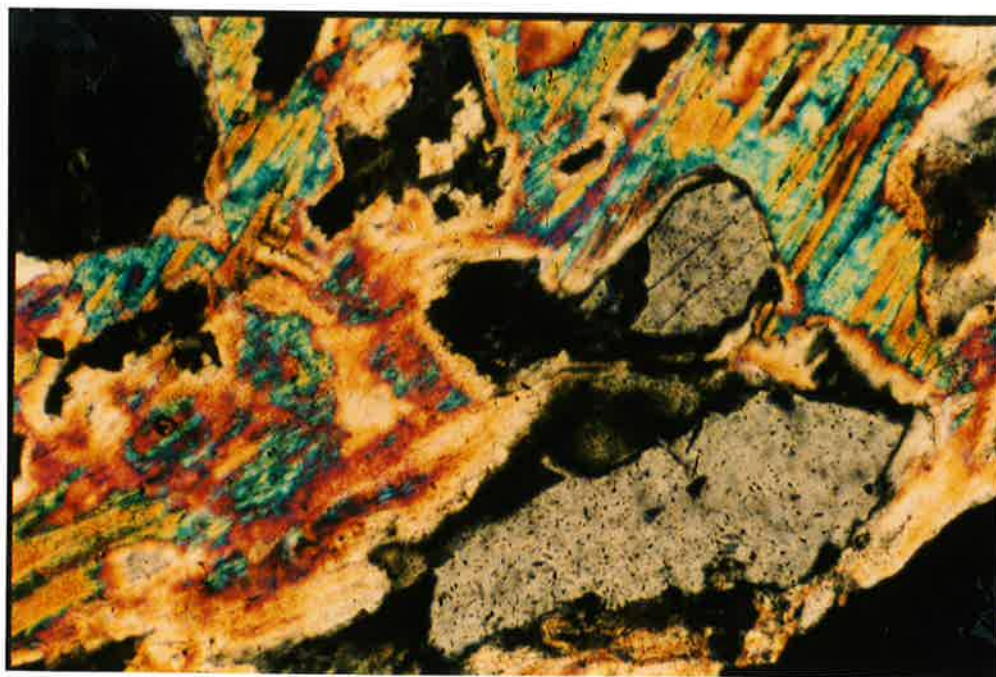


Foto 56. Fotomicrografía de la muestra LB-9305 de un granito biotítico porfídico. Restos de cristales de Andalusita que están siendo alterados por un agregado moscovítico. Nicoles cruzados.

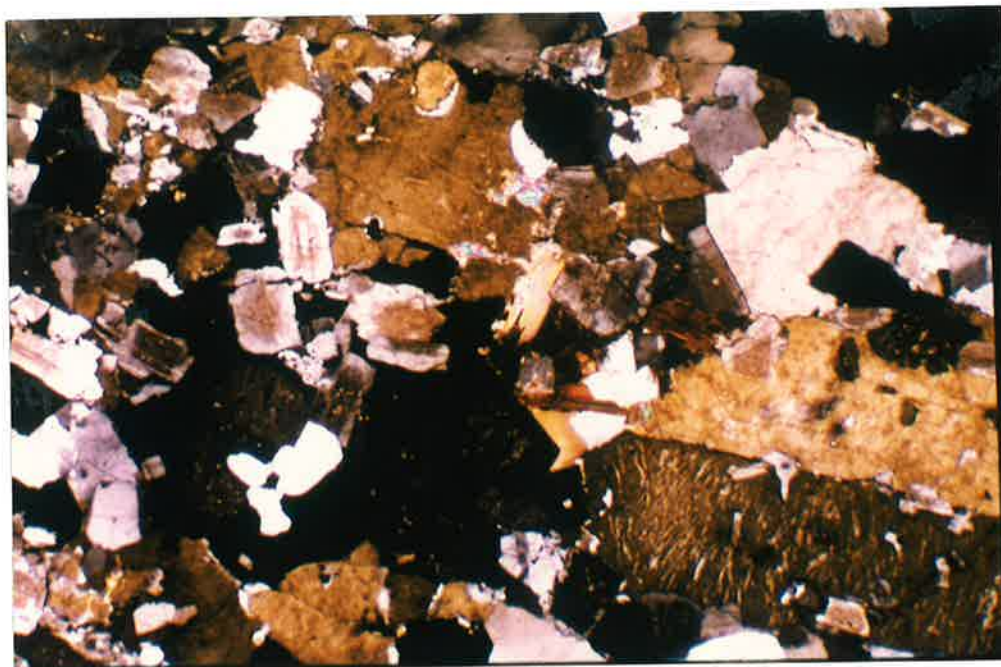


Foto 57. Fotomicrografía de la muestra LB-9029 de un Microgranito. Nótese los microfenocristales de Ortosa y la escasa presencia de biotita. Nícoles cruzados.

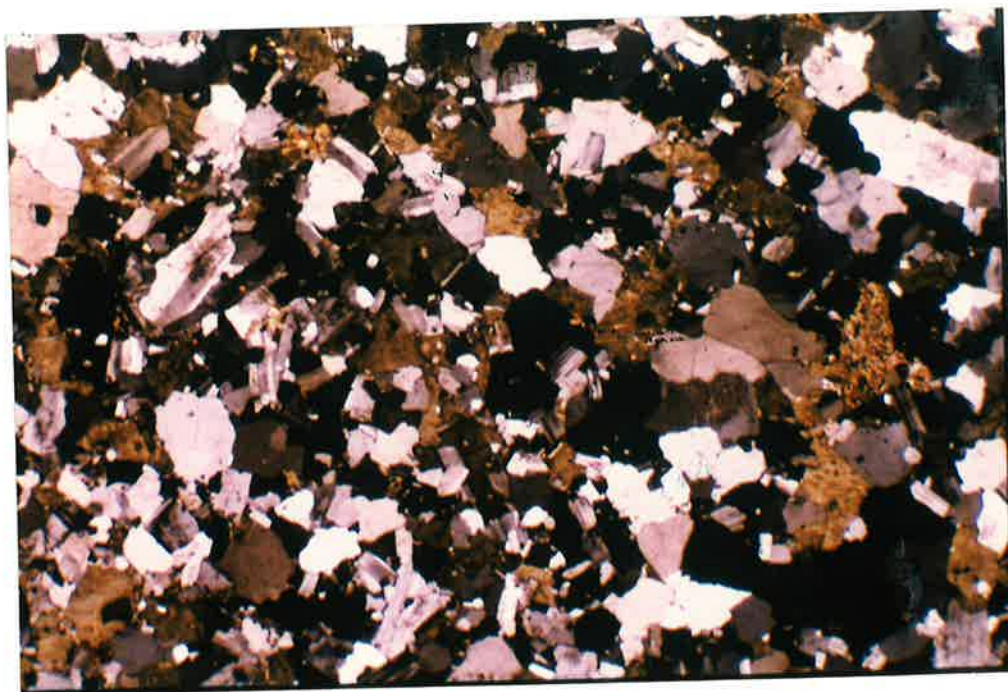


Foto 58. Fotomicrografía de la muestra LB-9023 de un Leucogranito. Textura microgranuda formada por Cuarzo, Feldespato potásico y Albite. Nícoles cruzados.

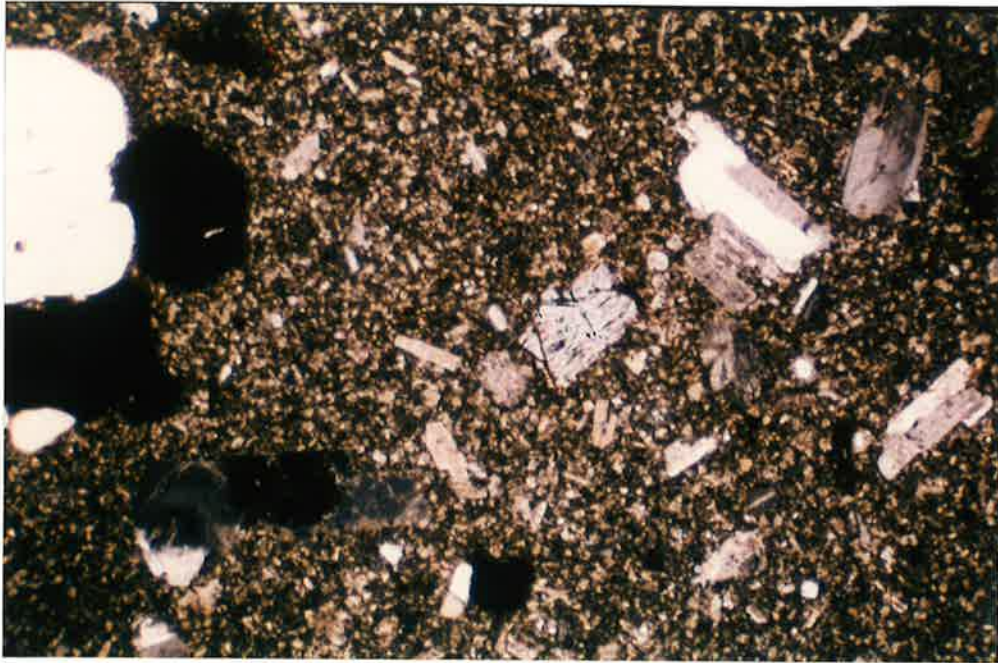


Foto 59. Fotomicrografía de la muestra LB-9319, de un Pórfido ácido. Fenocristales de Cuarzo corroídos y de plagioclasa en una matriz de grano muy fino. Nicoles cruzados.

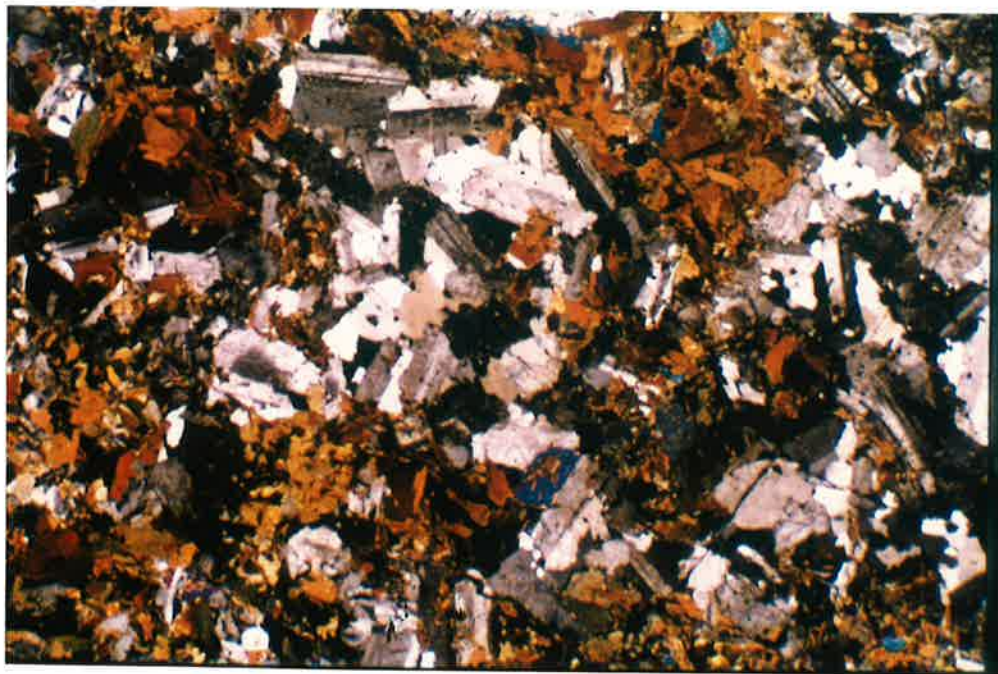


Foto 60. Fotomicrografía de la muestra LB-9024-C de una microdiorita. Nótese la abundancia de Anfíbol de Biotita junto a Cuarzo y Plagioclasa. Nicoles cruzados.

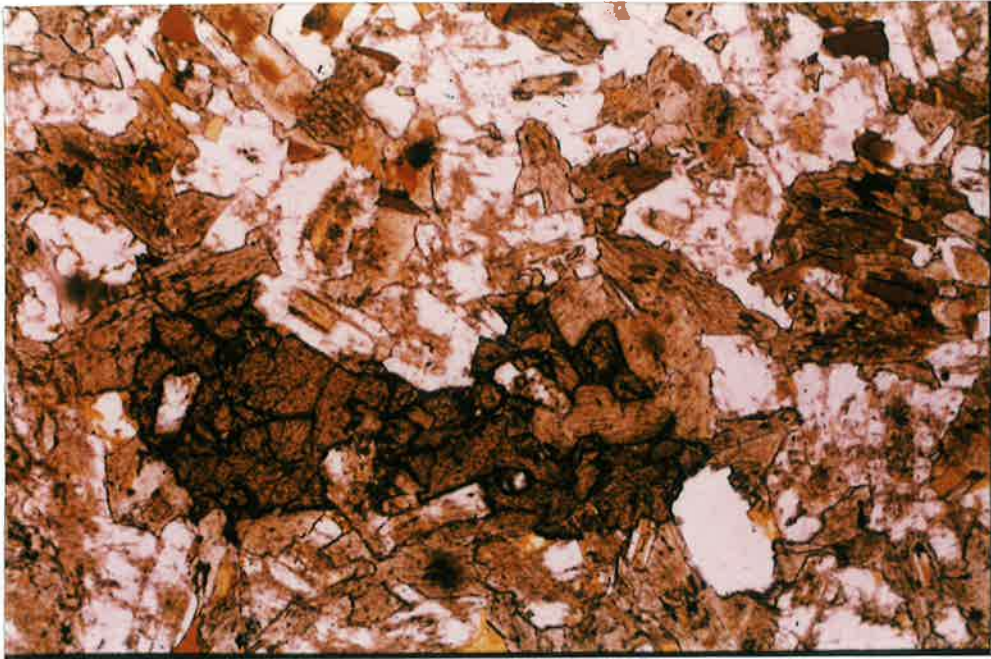


Foto 61. Fotomicrografía de la muestra LB-9024-B de una microdiorita. Detalle de la abundancia, relativa de esfena en estas rocas. Nícoles cruzados.



Foto 62. Fotomicrografía de la muestra LB-9323 de una pizarra mosqueada. Numerosos porfidoblastos de Andalucita (Chiastolita). Nícoles cruzados.

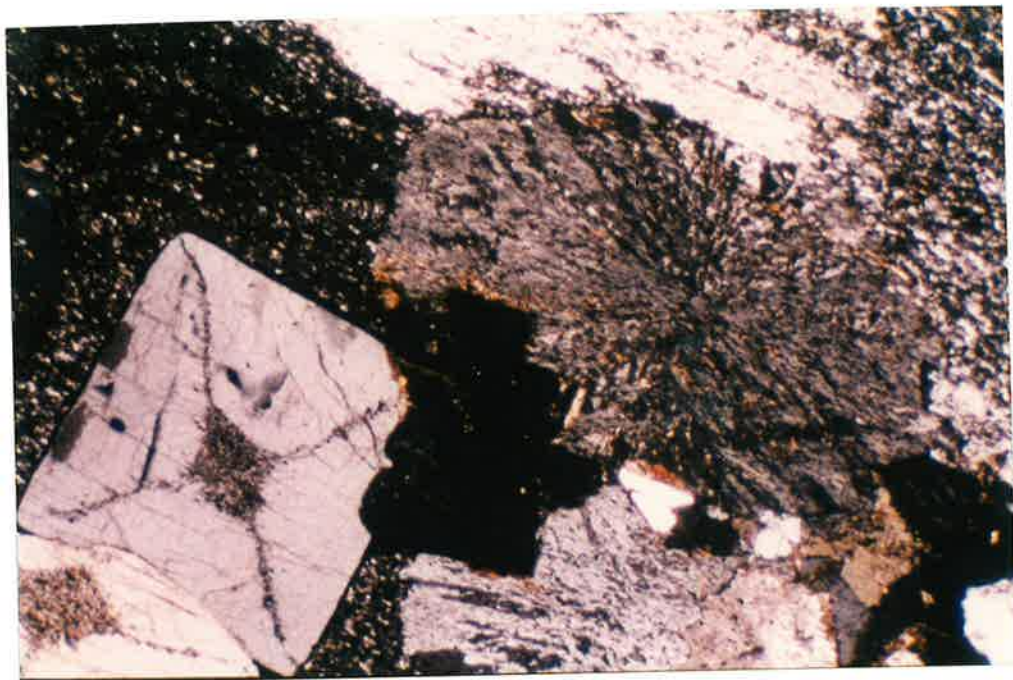


Foto 63. Fotomicrografía de la muestra LB-9323 de una pizarra mosqueada.
Detalle de los porfidoblastos de Andalusita (Chiastolita). Nícoles
cruzados.